

## بررسی سنتز و خواص آنتی اکسیدانی کلسیم هگزا بوراید\*

سید مسعود حسینی میغان<sup>(۱)</sup> رحیم نقی زاده<sup>(۲)</sup> حمیدرضا رضایی<sup>(۳)</sup> نگین مرادی یزدی<sup>(۳)</sup> میلاد طالبیان<sup>(۵)</sup>

### چکیده

در این مطالعه، پودر کلسیم هگزا بوراید ( $CaB_6$ ) از طریق سنتز احتراقی تهیه و خاصیت آنتی اکسیدانی آن بررسی شد. الگوهای پراش اشعه ایکس محصولات به دست آمده از فرآیند سنتز احتراقی بعد از شستشو با عوامل شیمیایی مناسب که در آن منیزیم به عنوان عامل احیا کننده استفاده شده بود فقط حضور کلسیم هگزا بوراید را نشان دادند، در حالی که وقتی از آلومینیوم و سیلیسیم به عنوان عوامل احیا کننده استفاده شد، علاوه بر کلسیم هگزا بوراید، اکسید مربوط به همان عناصر هم مشاهده شدند. کلسیم هگزا بوراید سنتز شده با عامل احیا کننده منیزیم مقاومت به اکسیداسیون بهتری داشت.

**واژه‌های کلیدی** کلسیم هگزا بوراید، سنتز احتراقی، دیر گداز منیزیا - گرافیتی، آنتی اکسیدان.

## Investigation on Synthesis and Antioxidant Properties of Calcium Hexaborid

S. m. hostini mighan R. Naghizadeh H. R. Rezaie N. Moradi Yardi M. Talebian

### Abstract

Calcium hexaboride has high melting point (2372K), high hardness (27 GPa), low density (2.45 g/cm<sup>3</sup>), high Young's modulus (379 GPa) and low thermal expansion. This material has capability for using in composite and as an antioxidant in Oxide-graphite refractories. Synthesis of calcium hexaboride by different processes as hydrothermal, solid state and combustion synthesis are done.  $CaB_6$  as an antioxidant in MgO-C refractories can reduce the oxidation of graphite. In this study synthesis and application of  $CaB_6$  as an antioxidant are investigated.

**Keywords** Calcium Hexaboride, Combustion Synthesis, Magnesia Carbon Brick, Antioxidant.

\* نسخه نخست مقاله در تاریخ ۹۵/۹/۱۷ و نسخه پایانی آن در تاریخ ۹۶/۷/۲ به دفتر نشریه رسیده است.

(۱) دانش آموخته کارشناسی ارشد، دانشکده مهندسی مواد و متالورژی، دانشگاه علم و صنعت ایران.

(۲) نویسنده مسئول، دانشیار، دانشکده مهندسی مواد و متالورژی، دانشگاه علم و صنعت ایران.

(۳) استاد، دانشکده مهندسی مواد و متالورژی، دانشگاه علم و صنعت ایران.

(۴) دانش آموخته کارشناسی ارشد، دانشکده مهندسی مواد، دانشگاه آزاد اسلامی واحد علوم و تحقیقات تهران.

(۵) دانش آموخته کارشناسی ارشد، دانشکده علوم و فن آوری های نوین، دانشگاه تحصیلات تکمیلی صنعتی و فن آوری پیشرفته، کرمان.

**Email:** rnaghizadeh@iust.ac.ir

## مقدمه

قسمت های کنورتور، پاتیل و خط سرباره کوره قوس کاربرد دارند. با توجه به حضور کربن، در این دیرگذاها لزوم افزایش مقاومت اکسیداسیونی حس می گردد که یکی از راه ها افزودن آنتی اکسیدان ها در طی فرآیند تولید آجر به بیج می باشد. آنتی اکسیدان هایی که اغلب در این دیرگذاها استفاده می شوند شامل: فلز/آلیاژ (مثل  $Mg$ ,  $Al$ ,  $Si$ ,  $Al/Mg$ ), کاربیدها (مثل  $B_4C$  و  $SiC$ ) و ترکیبات بر پایه بور (مثل  $CaB_6$  و  $ZrB_2$ ) هستند. آنتی اکسیدان ها با مکانیزم های مختلف ترکیبات مختلفی را در درون حفره ها و یا پیرامون کربن می سازند و راه رسیدن اکسیژن به گرافیت یا کربن را کند می کنند [6,7].

بر روی سنتز پودر کلسیم هگزابوراید از  $CaB_6$  از مواد اولیه و روش های ارزان قیمت مثل تهیه آن از بورات مربوطه مثل  $CaB_6O_{10}.nH_2O$  به کمک عوامل احیا کننده فلزی و در نهایت کاربرد آن در دیرگذاهای حاوی گرافیت به عنوان آنتی اکسیدان، کار جدی صورت نگرفته است که در این پژوهش به آن پرداخته خواهد شد. بدین منظور ابتدا از روش هیدرو ترمال برای تهیه پیش سازنده ( $n=4,5$ )  $CaB_6O_{10}.nH_2O$  استفاده شد و سپس کلسیناسیون انجام شد و در ادامه از روش سنتز احتراقی و از مواد احیاکننده مختلف شامل  $Si$ ,  $Al$  و  $Mg$  در دماهای متفاوت برای سنتز کلسیم هگزابوراید ( $CaB_6$ ) استفاده شد. به کمک آنالیز XRD دمای بهینه سنتز احتراقی بدست آمد. کلسیم هگزابوراید سنتز شده به عنوان آنتی اکسیدان در آجرهای منیزیا-گرافیتی استفاده شد و خاصیت آنتی اکسیدانی آن با آلومینیوم مقایسه شد.

## مواد و روش تحقیق

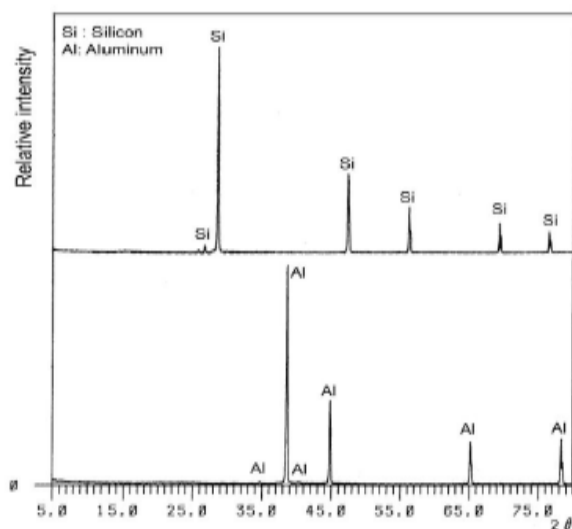
## سنتز احتراقی کلسیم هگز ابوراید

مواد اولیه شامل اسید بوریک (خلوص ۹۹/۵٪)، هیدروکسید کلسیم (خلوص ۹۶٪) و فلزات منیزیم (خلوص ۹۹٪)، آلومینیوم (خلوص ۹۸٪) و سیلیسیم (خلوص ۹۸٪) بودند. اسید بوریک، هیدروکسید کلسیم و منیزیم از شرکت مرک آلمان و آلومینیوم و سیلیسیم تجاری با الگوی پراش اشعه ایکس شکل (۱) بود. برای سنتز کلسیم هگزابوراید ( $CaB_6$ )

کلسیم هگزابوراید ( $CaB_6$ ) جزء هگزابوراید های مکعبی قلیایی خاکی می باشد که دارای خواص فوق العاده ای از جمله نقطه ذوب بالا (۲۳۷۳ K)، سختی بالا (۲۷ GPa)، استحکام بالا، دانسیته کم ( $۲/۴۵ g/cm^3$ )، مدول یانگ بالا (۳۷۹ GPa)، ضریب انبساط حرارتی پایین در بعضی محدوده های دمایی و پایداری شیمیایی بالا می باشد [1]. داشتن این خواص در کنار هم باعث شده که این ماده در محدوده وسیعی کاربرد داشته باشد که از آن جمله می توان به صنایع هسته ای، استفاده از کامپوزیت  $CaB_6$  و  $B_4C$  به عنوان ابزار سایشی، همچنین استفاده به عنوان محافظ سطح و ماده ای مقاوم در محیط های خورنده، آنتی اکسیدان در تولید آجرهای منیزیا-گرافیتی و ماده اولیه برای سنتز نیتريد بور اشاره کرد [2]. بر روی سنتز پودر کلسیم هگزابوراید از روش های مختلف تحقیقاتی انجام شده است. به عنوان مثال پودر کلسیم هگزابوراید توسط واکنش کربنات کلسیم و کاربید بور و کربن سنتز شده است [3]. همچنین Lin و همکارانش [4] پودر میکرونی کلسیم هگزابوراید را از  $B_4C$  سنتز کردند. Yildiz و همکارانش [5]  $CaB_6$  را از کلمانیت تهیه کرده و تغییر فاز  $B_4C$  به  $CaB_6$  را مطالعه کرده اند. نیاز به دماهای بالا و مدت زمان طولانی نگهداری در این دماها و بالمیل های دراز مدت و همچنین فازهای میانی و ناخالصی هایی به وجود آمده در کنار محصول، استفاده از این روش ها را محدود می کنند [3]. در چند سال اخیر محققان موفق به تولید کلسیم هگزابوراید از طریق سنتز احتراقی، به کمک یک عامل احیا کننده شدند. Huang و همکارانش [2] از منیزیم به عنوان عامل احیا کننده استفاده کردند. واکنش در دمای ۷۰۰ درجه سانتیگراد اتفاق افتاد و دمای آدیاباتیک تا ۲۲۰۰ درجه سانتیگراد بالا رفت و هزینه های تولید به شدت کاهش پیدا کرد.

همانطور که ذکر شد یکی از کاربردهای  $CaB_6$  استفاده به عنوان آنتی اکسیدان در آجرهای منیزیا-گرافیتی می باشد. آجرهای دیرگذا  $MgO-C$  به دلیل مقاومت بالا در برابر شوک حرارتی و مقاومت در برابر سرباره، در صنایع تولید فولاد در

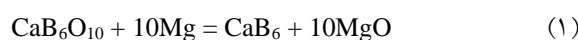
منیزیم در دماهای ۶۵۰، ۷۰۰، ۷۵۰ و ۸۰۰ درجه سانتیگراد و قرص‌های حاوی سیلیسیم و آلومینیوم در دماهای مختلف ۷۰۰-۹۰۰ درجه سانتیگراد درون کوره قرار داده شدند تا دمای بهینه برای سنتز احتراقی به دست آید. در نهایت، جهت خروج محصولات جانبی یعنی  $MgO$ ،  $SiO_2$  و  $Al_2O_3$  بر روی پودر سنتز شده شستشو انجام شد. برای شستشوی محصولات جانبی سنتز احتراقی که در آن‌ها منیزیم به عنوان عامل احیا کننده بود از اسید کلریدریک سه مولار در دمای ۱۱۰ سانتیگراد به مدت سی دقیقه استفاده شد و محصولات جانبی که در آن‌ها سیلیسیم و آلومینیوم به عنوان عامل احیا کننده بودند هیدروکسید سدیم سه مولار در دمای ۱۱۰ درجه سانتیگراد به مدت سی دقیقه استفاده شد. شستشو و زدودن  $MgO$  قلیایی با اسیدها و شستشوی  $SiO_2$  اسیدی و  $Al_2O_3$  خنثی با قلیایی‌ها روش معمول حذف آنها از پودرهای سنتز شده می باشد [2,8]. سپس پودرهای شسته شده با اسید یا قلیا با آب یونیزه شده شسته شدند و در دمای ۱۱۰ درجه سانتیگراد به مدت یک ساعت خشک شدند و در نهایت پودر کلسیم هگزابوراید توسط سنتز احتراقی به دست آمد.



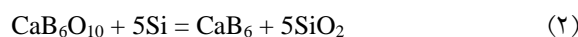
شکل ۱ الگوی پراش اشعه X آنتی اکسیدان‌های Si و Al

ابتدا کلسیم هگزابورایت ( $CaB_6O_{10}.nH_2O$ ) سنتز و با عناصر احیا کننده مخلوط و پرس شد و در نهایت درون کوره قرار گرفت و با واکنش احتراقی ترکیب کلسیم هگزابوراید حاصل شد. مقدار مول لازم بورون شش برابر مقدار مول کلسیم می باشد. منبع تامین بورون، اسید بوریک و منبع تامین کلسیم، هیدروکسید کلسیم بود. با توجه حجم اتوکلاو مورد استفاده که ۱۸۰ سی سی بود، مقدار وزن لازم برای رسیدن به کلسیم هگزابورایت به دست آورده شد. کلسیم هگزابورایت توسط روش هیدروترمال و از مخلوط کردن ۲۷ گرم اسیدبوریک و ۴/۷ گرم هیدروکسید کلسیم در ۶۵ میلی لیتر آب یونیزه شده سنتز شد. مخلوط، درون اتوکلاو تحت فشار ۲ بار (دما حدود ۱۲۰ سانتیگراد) به مدت سه ساعت قرار داده شد تا واکنش انجام شود و سپس اجازه داده شد، فشار به صورت طبیعی کاهش یابد. کلسیم هگزابورایت آبدار به دست آمده توسط ۱۰۰ میلی لیتر آب یونیزه شده شسته شد و به مدت سه ساعت در دمای ۱۱۰ سانتیگراد قرار داده شد تا عملیات خشک شدن انجام شود. سپس جهت خروج آب های کریستالی، کلسیم هگزابورایت آبدار ( $CaB_6O_{10}.nH_2O$ ) در دمای ۴۰۰ سانتیگراد به مدت دو ساعت کلسینه شد تا به کلسیم هگزابورایت بی آب ( $CaB_6O_{10}$ ) تبدیل شود. در ادامه کلسیم هگزابورایت کلسینه شده بر اساس روابط زیر به صورت جداگانه با عناصر منیزیم، آلومینیوم و سیلیسیم که عوامل احیا کننده هستند مخلوط شد:

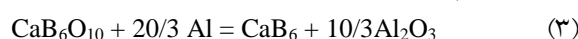
برای منیزیم:



برای سیلیسیم:



برای آلومینیوم:



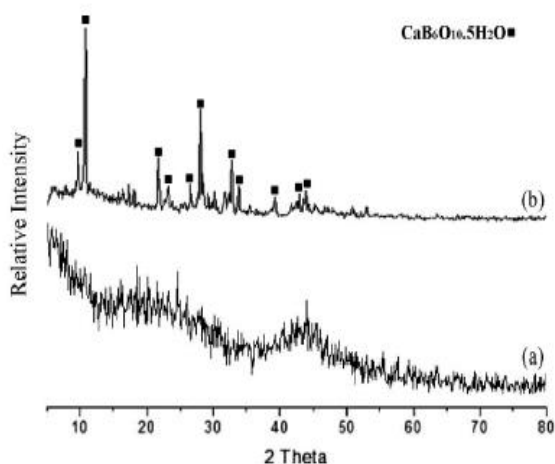
سپس مخلوط پودرها به صورت جداگانه تحت فشار ۳۰ مگا پاسکال پرس شدند و قرص هایی با ضخامت ۶ میلی متر و قطر ۱۵ میلی متر تهیه شدند. قرص ها پس از دفن در بستری از کربن و  $SiC$  حرارت داده شدند. قرص های حاوی

توسط رشته تنگستنی مورد ارزیابی قرار گرفت. پس از قرار دادن نمونه در داخل دستگاه، در شرایط خلاء در ولتاژ ۱۵kV با آشکارسازی الکترون‌های ثانویه تصاویر میکروسکوپی از نمونه‌ها تهیه شدند.

## نتایج و بحث

### سنتز کلسیم هگزابوراید

پراش پرتو ایکس نمونه های پودری شکل قبل و بعد از کلسیناسیون در شکل (۲) نشان داده شده است. همانطور که دیده می شود بعد از خشک شدن کلسیم هگزابورایت پنج آبه تشکیل شده است که در ادامه و با انجام کلسیناسیون، آب خارج شده و پودر آمورف تشکیل می شود. در تهیه  $\text{CaB}_6$  از کلمانیت  $2\text{CaO} \cdot 2\text{B}_2\text{O}_3 \cdot 5\text{H}_2\text{O}$  نیز ذکر شده است که بدون کلسیناسیون کلمانیت در ۶۰۰ درجه سانتیگراد نمی توان  $\text{CaB}_6$  تهیه کرد [9].



شکل ۲ پراش پرتو ایکس. (a) بعد از کلسیناسیون، (b) قبل از کلسیناسیون

برای سنتز کلسیم هگزابوراید ابتدا باید دمای بهینه واکنش برای شروع و فعال سازی سنتز احتراقی به دست آورده شود. جدول (۱) نشان دهنده تغییر انرژی آزاد بر اساس واحد مول اکسیژن می باشد [10]. بر اساس این جدول می توان حدس زد که دمای بهینه واکنش برای نمونه های حاوی منیزیم کمتر از نمونه های حاوی آلومینیوم و به همین ترتیب دمای بهینه واکنش برای این دو کمتر از نمونه های حاوی

### بررسی خاصیت آنتی اکسیدانی کلسیم هگزابوراید سنتز شده

جهت بررسی و مقایسه خاصیت آنتی اکسیدانی پودرها، اکسید منیزیم (۹۸٪) و گرافیت (۹۸٪) و رزین نووالاک (۹۸٪) به ترتیب با نسبت ۶۸ wt%، ۳۰/۵ wt% و ۰/۵ wt% مخلوط شدند، سپس به صورت جداگانه به مخلوط حاصل هگزابوراید های کلسیم ( $\text{CaB}_6$ ) سنتز شده توسط افزودنی-های احیاکننده مختلف Si, Al, Mg و همچنین پودر آلومینیوم (۹۸٪) جهت مقایسه، به میزان ۱ wt% افزوده گردید. رزین نووالاک جهت افزایش استحکام آجر به بیچ اضافه شد و ترکیب های بدست آمده تحت فشار  $800 \text{ Kg/Cm}^2$  پرس شدند و قرص هایی با قطر ۴۰ میلی متر و ضخامت ۲۰ میلی متر ساخته شدند. سپس نمونه ها در دمای ۲۰۰ درجه سانتیگراد به مدت بیست و چهار ساعت درون کوره قرار گرفتند تا عمل آوری (کیورینگ) باند رزینی نمونه ها انجام شود، در ادامه نمونه ها وزن شدند و هر کدام از نمونه ها به مدت چهار ساعت در دماهای ۸۰۰، ۱۰۰۰، ۱۲۰۰ و ۱۴۰۰ درجه سانتیگراد در اتمسفر هوا قرار داد شد تا مقاومت اکسیداسیونی آنها ارزیابی گردد. در نهایت بعد از خروج از کوره دوباره نمونه ها وزن شدند تا مقدار کاهش وزن به دلیل اکسیداسیون گرافیت به دست آید. برای بررسی ریزساختاری از همین نمونه ها استفاده شد در حالی که برای شناسایی فازها نمونه ها دوباره درون کوره ۷۵۰ درجه سانتیگراد قرار گرفتند تا گرافیت به طور کامل خارج شود تا فازهای دیگر موجود در نمونه ها راحت تر قابل شناسایی باشند.

### مشخصه یابی

به منظور شناسایی فازها آزمایش پراش پرتو ایکس بر روی نمونه ها انجام گرفت. برای این منظور از دستگاه پراش سنجی پرتو ایکس با هدف مسی و فیلتر نیکیلی استفاده شد. در این دستگاه اشعه ایکس با طول موج ۰/۱۵۴ نانومتر، ولتاژ (kV) ۴۰ و جریان (mA) ۴۰ با سرعت ۰/۰۱ درجه بر ثانیه مورد استفاده قرار گرفت. فازشناسی الگوهای پراش سنجی پرتو ایکس نیز توسط نرم افزار X Pert HighScore انجام شد. ریز ساختار توسط دستگاه میکروسکوپ الکترونی روبشی مدل VEGA11-TESCAN با منبع تأمین الکترون کاتد گرم

این فازها احتمالاً از کریستالیزاسیون فاز آمورف باقیمانده حاصل از کلسیناسیون و با واکنش آن با مقدار جزئی Mg باقیمانده به صورت غیراحتراقی حاصل شده است. Huang و همکارانش [2] پس از حرارت دادن مخلوط Mg و  $\text{CaB}_6\text{O}_{10}$  در کوره مافلی در ۷۰۰ درجه سانتیگراد علاوه بر فاز  $\text{CaB}_6$  و  $\text{MgO}$  فازهای فرعی  $\text{Ca}_3(\text{BO}_3)_2$  و  $\text{Mg}_3\text{B}_2\text{O}_6$  نیز مشاهده کردند. آنها مراحل واکنش را شامل تجزیه  $\text{CaB}_6\text{O}_{10}$  به  $\text{CaO}$  و  $\text{B}_2\text{O}_3$  و سپس تشکیل  $\text{CaB}_6$  و  $\text{MgO}$  ذکر کردند. همچنین Zhang و همکارانش [۱۱] در سنتز  $\text{CaB}_6$  از مخلوط  $\text{B}_4\text{C}$  و  $\text{CaCO}_3$  فاز فرعی  $\text{Ca}_3\text{B}_2\text{O}_8$  را مشاهده کردند.

در شکل (۴) الگوی پراش پرتو ایکس پیک های مربوط به قرص های هگزابورایت حاوی افزودنی های آلومینیوم و منیزیم در دماهای ۸۵۰ و ۹۰۰ درجه سانتیگراد آورده شده است. همان طور که مشاهده می گردد در نمونه حاوی آلومینیوم در دمای ۸۵۰ درجه سانتیگراد علاوه بر فازهای حاصل از احیای آلومینوترمیک یعنی  $\text{CaB}_6$  و  $\text{Al}_2\text{O}_3$  مقداری  $\text{Al}$  باقیمانده و احتمالاً بورات آلومینیوم به فرمول  $\text{Al}_4\text{B}_2\text{O}_9$  موجود است. در نمونه حاوی سیلیسیم علاوه بر فازهای حاصل از احیا یعنی  $\text{SiO}_2$  بفرم کوآرتز و  $\text{CaB}_6$  فاز باقیمانده  $\text{Si}$  نیز وجود دارد. با توجه به الگوهای پراش اشعه X دمای ۸۵۰ درجه سانتیگراد به عنوان دمای بهینه برای احیای بورات کلسیم توسط  $\text{Al}$  و دمای ۹۰۰ درجه سانتیگراد برای احیای آن توسط  $\text{Si}$  انتخاب گردید.

قرص های حاوی هگزابورایت کلسیم و افزودنی های  $\text{Mg}$ ،  $\text{Al}$  و  $\text{Si}$  که در دماهای بهینه ۷۵۰، ۸۵۰ و ۹۰۰ درجه سانتیگراد حرارت داده شده بودند پس از آسیاب تحت عملیات شستشو به منظور خروج محصولات جانبی و فرعی تشکیل شده قرار گرفتند.

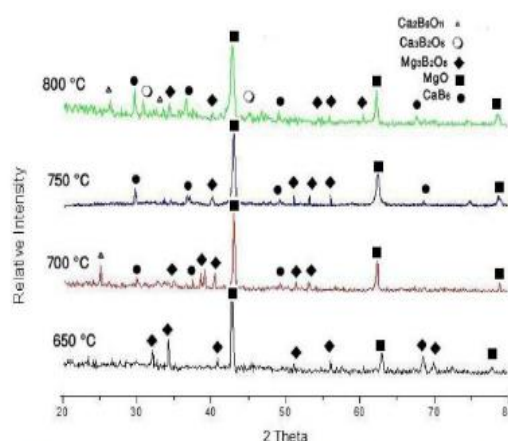
سیلیسیم می باشد. در عمل برای اینکه دمای بهینه برای سنتز کلسیم هگزابوراید به دست آید، قرص های حاوی عناصر مختلف در دماهای گوناگون قرار داده شدند.

قرص های حاوی منیزیم در دماهای ۶۵۰، ۷۰۰، ۷۵۰ و ۸۰۰ درجه سانتیگراد قرار داده شدند و در شکل ۳ نتایج آزمون پراش پرتو ایکس آن ها مشاهده می شوند.

جدول ۱ تغییرات انرژی آزاد فلز به اکسید به ازای مصرف یک مول

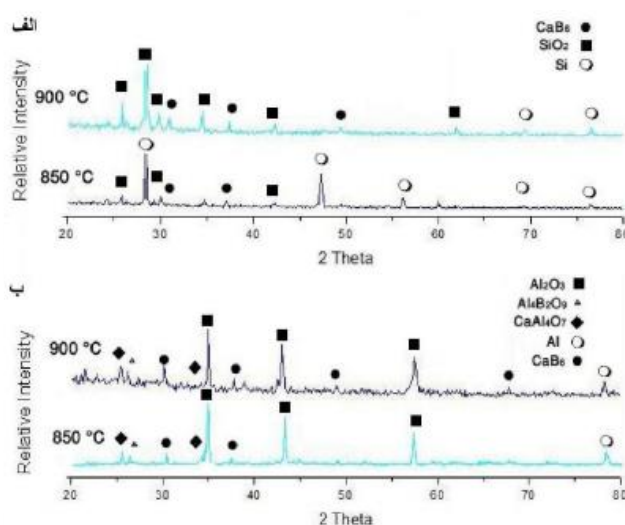
اکسیژن [8]

Metal	Oxide	Free Energy per mole Oxygen
Mg	MgO	-458
Al	$\text{Al}_2\text{O}_3$	-420
Si	$\text{SiO}_2$	-335

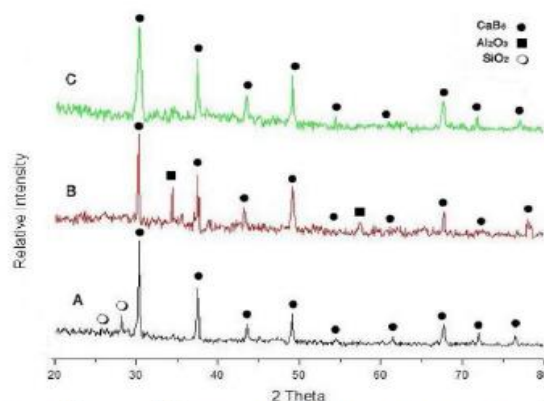


شکل ۳ نتایج آزمون پراش پرتو ایکس برای قرص های حاوی منیزیم در دماهای مختلف

در دمای ۶۵۰ درجه سانتیگراد پیک های مربوط به کلسیم هگزابوراید دیده نمی شود و در ۷۰۰ درجه سانتیگراد پیکهای مربوط به کلسیم هگزابوراید ظاهر شدند که در ۷۵۰ درجه سانتیگراد تقریباً تشکیل  $\text{CaB}_6$  به حد مناسبی می رسد و بنابراین این دما برای نمونه های فوق به عنوان دمای بهینه سنتز  $\text{CaB}_6$  از هگزابورایت کلسیم در حضور منیزیم در نظر گرفته شد. با افزایش دما از ۷۵۰ به ۸۰۰ درجه سانتیگراد فازهای بورات کلسیم و بورات منیزیم با فرمول های  $\text{Ca}_2\text{B}_6\text{O}_{11}$  و  $\text{Ca}_3\text{B}_2\text{O}_6$  و  $\text{Mg}_3\text{B}_2\text{O}_6$  نیز ظاهر می شوند که



شکل ۴ نتایج آزمون پراش پرتو ایکس برای قرص های حاوی الف) Si و ب) Al در دماهای ۸۵۰ و ۹۰۰ درجه سانتی گراد



شکل ۵ نتایج آزمون پراش پرتو ایکس نمونه های حاوی: الف) سیلیسیم، ب) آلومینیوم و ج) منیزیم پس از شستشو

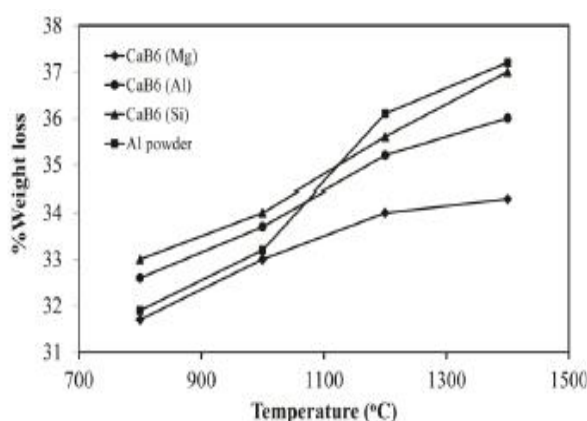
نمونه های حاوی سیلیسیم بود.

#### خاصیت آنتی اکسیدانی کلسیم هگزابوراید سنتز

در ادامه کلسیم هگزابوراید سنتز شده به عنوان آنتی اکسیدان در آجرهای منیزیا-گرافیتی استفاده شد. همچنین آنتی-اکسیدان رایج یعنی آلومینیوم جهت مقایسه خاصیت آنتی اکسیدانی کلسیم هگزابوراید سنتز شده به کار برده شد. آجرها در دماهای ۸۰۰، ۱۰۰۰، ۱۲۰۰ و ۱۴۰۰ درجه سانتیگراد به مدت چهار ساعت در اتمسفر هوا (معمولی) قرار گرفتند مقدار تغییر وزن ملاک اکسید شدن قرار داده شد. شکل (۶) روند کاهش وزن نمونه ها را در دماهای مختلف نشان می دهد. به طور کلی برای همه آنتی اکسیدان ها با افزایش دما، درصد

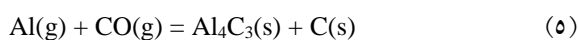
نمونه های حاوی منیزیم توسط اسیدکلریدریک ۳ مولار و نمونه های حاوی آلومینیوم و سیلیسیم توسط هیدروکسیدسدیم ۳ مولار در دمای ۱۱۰ درجه سانتیگراد به مدت سی دقیقه شستشو شدند. شکل (۵) نمودار پراش اشعه ایکس کلسیم هگزابوراید سنتز شده توسط این سه افزودنی بعد از شستشو را نشان می دهد، در هر سه نمونه کلسیم هگزابوراید تشکیل شده است، اما در نمونه های حاوی آلومینیوم و سیلیسیم به ترتیب پیک های مربوط به اکسید آلومینیوم و اکسید سیلیسیم نیز مشاهده می شود و شدت پیک های کلسیم هگزابوراید در نمونه های حاوی منیزیم بیشتر از نمونه های حاوی آلومینیوم و سیلیسیم بود و همچنین شدت پیک های مربوط به نمونه های حاوی آلومینیوم بیشتر از

کلی تفاوت در افت وزن را می توان به نوع آنتی اکسیدان ربط داد. وقتی از عناصر مختلف جهت سنتز  $\text{CaB}_6$  استفاده می شود، مقدار و خلوص  $\text{CaB}_6$  و همچنین سطح مخصوص و اندازه کریستالهای سنتز شده تحت شرایط و مواد مختلف، متفاوت است.



شکل ۶ درصد کاهش وزن آجرهای منیزیا-گرافیتی با آنتی اکسیدان های مختلف نسبت به دما

پراش اشعه ایکس آجرهای منیزیا-گرافیتی حاوی آنتی اکسیدان پودر آلومینیم در شکل ۷ نشان داده شده است که فازهای  $\text{MgO}$ ،  $\text{Al}_4\text{C}_3$  و  $\text{MgO} \cdot \text{Al}_2\text{O}_3$  قابل مشاهده است. می توان تشکیل این فازها را بر اساس واکنش های زیر توجیه کرد. این واکنش ها در گزارش های دیگر محققین نیز ذکر شده است [11,12].



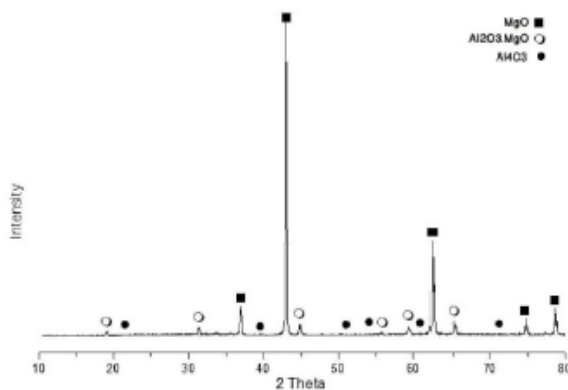
این واکنش ها که منجر به تشکیل  $\text{Al}_4\text{C}_3$ ،  $\text{Al}_2\text{O}_3$  و  $\text{MgO} \cdot \text{Al}_2\text{O}_3$  (اسپینل) می شوند، باعث افزایش حجم و کاهش تخلخل ها می شوند و بنابراین مقاومت به اکسیداسیون و استحکام دما بالا بهبود می یابد. آلومینیم همچنین می تواند CO را به C احیا می کند و سرعت مصرف کربن را کاهش دهد [7].

پراش اشعه ایکس آجرهای منیزیا-گرافیتی حاوی کلسیم هگزابوراید به عنوان آنتی اکسیدان که توسط منیزیم و آلومینیم

کاهش وزن افزایش می یابد. به عبارت دیگر با افزایش دما اکسیداسیون بیشتری اتفاق می افتد و مقاومت به اکسیداسیون کاهش می یابد. کمترین تغییرات افت وزن، با افزایش دما را کلسیم هگزابوراید سنتز شده توسط منیزیم و بیشترین تغییرات افت وزن را پودر آلومینیم بعد از دمای ۱۱۰۰ درجه سانتیگراد از خود نشان داد. در همه دماها بیشترین مقاومت به اکسیداسیون را  $\text{CaB}_6$  سنتز شده توسط منیزیم از خود نشان داد هر چند در دماهای پایین پودر آلومینیم نیز مقداری نزدیک به آن داشت و بعد از این دو،  $\text{CaB}_6$  سنتز شده توسط آلومینیم مقاومت به اکسیداسیون بیشتری نسبت به  $\text{CaB}_6$  سنتز شده توسط سیلیسیم از خود نشان داد. اما در دماهای بالا اینگونه نبود و مقاومت به اکسیداسیون کلسیم هگزابوراید ها بیشتر از پودر آلومینیم بود و در بین کلسیم هگزابوراید ها،  $\text{CaB}_6$  سنتز شده توسط منیزیم بیشترین مقاومت و کلسیم هگزابوراید سنتز شده توسط سیلیسیم کمترین مقاومت را از خود نشان داد. آلومینیم چون نقطه ذوب پایینی دارد (۶۶۰ درجه سانتیگراد) در دماهای پایین ذوب می شود و تشکیل فاز مایع می دهد و با واکنش با گرافیت تشکیل فاز  $\text{Al}_4\text{C}_3$  می دهد و CO را به C احیا می کند و از اکسیداسیون جلوگیری می کند یا به عبارتی سرعت اکسید شدن را کاهش می دهد. اما وقتی دما افزایش پیدا می کند فاز  $\text{Al}_4\text{C}_3$  تجزیه می شود و با اکسیژن واکنش می دهد و  $\text{Al}_2\text{O}_3$  تشکیل می دهد، به همین دلیل پودر آلومینیم در دماهای پایین تر مقاومت به اکسیداسیون بهتری از خود نشان می دهد.

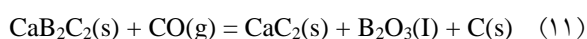
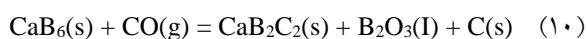
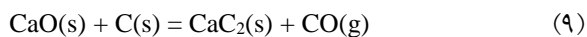
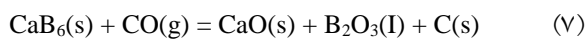
اما کلسیم هگزابوراید هم از لحاظ آنتی اکسیدانی نتایج یکسانی نشان ندادند. این موضوع را می توان این گونه توجیه کرد که برای سنتز کلسیم هگزابوراید باید اکسیژن کلسیم هگزابورایت توسط عناصر احیا کننده گرفته شود و جدا شدن اکسیژن به قدرت احیا کنندگی هر کدام از عناصر مربوط می شود و از آن جا که منیزیم نسبت به آلومینیم و سیلیسیم احیا کننده قوی تری است در نتیجه راحت تر می تواند کلسیم هگزابورایت را احیا کند و از آنجایی که واکنش در دماهای پایین تری اتفاق می افتد ماده حاصله سطح مخصوص بیشتر و اندازه کریستالیت های ریزتری خواهد داشت که می تواند در خاصیت آنتی اکسیدانی تاثیر بیشتری داشته باشد. به طور

آورده شده است. وقتی از کلسیم هگزابوراید استفاده می شود فازهای تشکیل شده عبارتند از  $\text{CaB}_6$ ،  $\text{MgO}$  و  $2\text{MgO} \cdot \text{B}_2\text{O}_3$  البته اگر  $\text{CaB}_6$  توسط سیلیسیم سنتز شود پیک های کوچک  $2\text{MgO} \cdot \text{SiO}_2$  دیده می شود و به همین ترتیب وقتی از  $\text{CaB}_6$  سنتز شده توسط آلومینیم استفاده شود پیک های کوچک  $\text{MgO} \cdot \text{Al}_2\text{O}_3$  قابل رویت است.



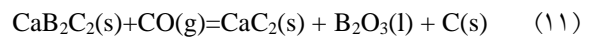
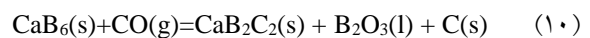
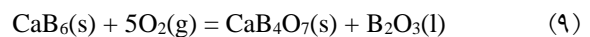
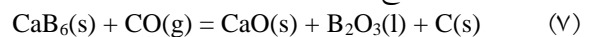
شکل ۷ نتایج آزمون پراش پرتو ایکس آجرهای منیزیا-گرافیتی حاوی آنتی اکسیدان پودر آلومینیم پس از فرارگیری در دمای ۱۴۰۰ درجه سانتی گراد

شکل (۸) پراش اشعه ایکس نمونه های حاوی کلسیم هگز ابوراید سنتز شده توسط منیزیم را نشان می دهد و واکنش های محتمل برای تشکیل فازهای گفته شده در ادامه آمده است:



با واکنش  $\text{CaB}_6$  با فاز  $\text{Co}$  فاز  $\text{B}_2\text{O}_3$  تشکیل خواهد شد و با واکنش  $\text{B}_2\text{O}_3$  با اکسید منیزیم فاز بورات منیزیم  $2\text{MgO}$

و سیلیسیم سنتز شده است مشابه هم بودند به همین دلیل فقط نمونه کلسیم هگزابوراید سنتز شده توسط منیزیم آورده شده است. وقتی از کلسیم هگزابوراید استفاده می شود فازهای موجود در نمونه های اکسید شده حاوی  $\text{CaB}_6$ ،  $\text{MgO}$  و  $2\text{MgO} \cdot \text{B}_2\text{O}_3$  بودند. البته اگر  $\text{CaB}_6$  توسط سیلیسیم سنتز شود پیک های کوچک  $2\text{MgO} \cdot \text{SiO}_2$  دیده می شود و به همین ترتیب وقتی از  $\text{CaB}_6$  سنتز شده توسط آلومینیم استفاده شود پیک های کوچک  $\text{MgO} \cdot \text{Al}_2\text{O}_3$  قابل رویت است. شکل ۸ پراش اشعه ایکس نمونه های حاوی کلسیم هگزابوراید سنتز شده توسط منیزیم را نشان می دهد و واکنش های محتمل برای تشکیل فازهای گفته شده در ادامه آمده است که در منابع مختلف نیز آنها ذکر شده اند [13-15].



با واکنش  $\text{CaB}_6$  با فاز  $\text{CO}$  فاز  $\text{B}_2\text{O}_3$  تشکیل خواهد شد و با واکنش  $\text{B}_2\text{O}_3$  با اکسید منیزیم فاز بورات منیزیم  $2\text{MgO} \cdot \text{B}_2\text{O}_3$  ( $\text{M}_2\text{B}$ ) تشکیل می شود،  $\text{B}_2\text{O}_3$  و بورات منیزیم ذوب می شوند و به صورت مایع در می آیند و منافذ باز را پر می کنند و سطح کربن را می پوشانند و مانع از اکسیداسیون می شوند. Hanagiri و همکارانش [13] بر تشکیل فازهای  $\text{CaB}_2\text{C}_2$  و  $\text{CaC}_2$  و نقش آنها در اتصال ذرات تاکید کرده اند. همچنین آنها ذکر کرده اند در صورت وجود آنتی اکسیدان فلزی همزمان با  $\text{CaB}_6$  احتمال تشکیل اسپینل  $\text{MgAl}_2\text{O}_4$  همچنین  $3\text{MgO} \cdot \text{B}_2\text{O}_3$  نیز وجود دارد.

پراش اشعه ایکس آجرهای منیزیا-گرافیتی حاوی کلسیم هگزابوراید به عنوان آنتی اکسیدان که توسط منیزیم و آلومینیم و سیلیسیم سنتز شده است مشابه هم بودند به همین دلیل فقط نمونه کلسیم هگزابوراید سنتز شده توسط منیزیم



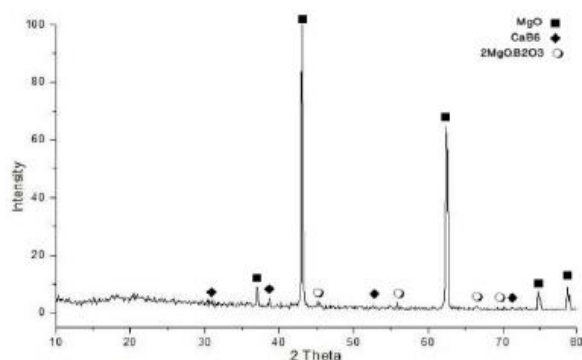
کاهش شدت پیک  $M_2B$  احتمالاً به دلیل تبدیل فازهای بوراتی دیگر و یا آمورف شدن خواهیم بود.

شکل (۱۱) تصویر میکروسکوپ الکترونی آجر منیزیا-گرافیتی حاوی پودر آلومینیم و منیزیم در دمای ۱۴۰۰ درجه سانتیگراد را نشان می دهد. با مقایسه این اشکال با الگوی پراش اشعه X و با استفاده از EDX فازهای منیزیا (FM)، اسپینل (SP) و گرافیت (G) در نمونه حاوی آنتی اکسیژن Al و فازهای منیزیا، گرافیت و بورات منیزیم در نمونه حاوی آنتی اکسیدان  $CaB_6$  قابل ملاحظه است.

شکل های (۹ و ۱۰) تغییرات شدت پیک فازهای تشکیل شده در آجرهای منیزیا-گرافیتی را وقتی از پودر آلومینیم و کلسیم هگزابوراید استفاده شود را در دماهای گوناگون نشان می دهد. وقتی از پودر آلومینیم استفاده شد، در ابتدا با افزایش دما تا ۱۰۰۰ درجه سانتیگراد شدت پیک  $Al_4C_3$  افزایش می یابد و با افزایش بیشتر دما شدت آن کاهش می یابد، در حالی که شدت پیک اسپینل با افزایش دما، افزایش می یابد که این موضوع نمایش دهنده احتمالی تبدیل مقداری از  $Al_4C_3$  به  $Al_2O_3$  در دمای بالاتر و واکنش آن با سپس ذرات  $MgO$  می باشد. وقتی از کلسیم هگزابوراید استفاده شد، با افزایش دما شدت پیک کلسیم هگزابوراید کاهش می یابد، در حالی که شدت پیک بورات منیزیم با افزایش دما تا ۱۲۰۰ درجه سانتیگراد افزایش می یابد و در دماهای بالاتر از آن کاهش می یابد که احتمالاً به دلیل آن به تبدیل فازهای بوراتی دیگر و یا آمورف شدن است.

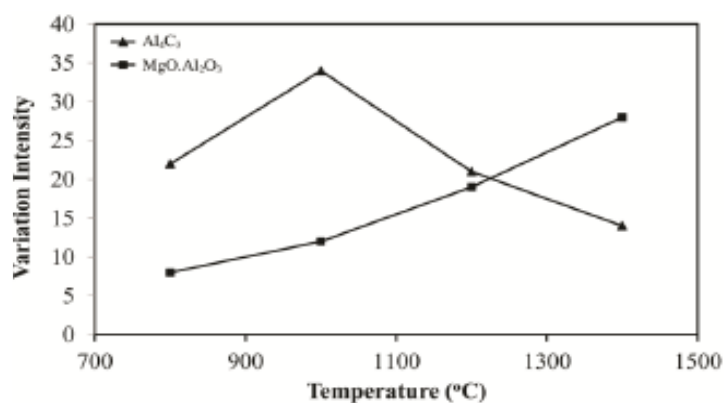
شکل (۱۱) تصویر میکروسکوپ الکترونی آجر منیزیا-گرافیتی حاوی پودر آلومینیم و  $CaB_6$  حاصل از منیزیم را پس از حرارت دادن در ۱۴۰۰ درجه سانتیگراد را نشان می دهد. با مقایسه این اشکال با الگوی پراش اشعه X و با استفاده از EDX فازهای منیزیا (FM)، اسپینل (SP) و گرافیت (G) در نمونه حاوی آنتی اکسیژن Al و فازهای منیزیا، گرافیت و بورات منیزیم در نمونه حاوی آنتی اکسیدان  $CaB_6$  قابل مشاهده است.

$(M_2B)B_2O_3$  تشکیل می شود.  $M_2B$  و  $B_2O_3$  ذوب می شوند و به صورت مایع در می آیند و منافذ باز را پر می کنند و سطح کربن را می پوشانند و مانع از اکسیداسیون می شوند. از طرف دیگر وجود مقداری فاز مایع باعث آزاد سازی تمرکز فشار در یک ناحیه می شود و کرنش مجاز و قابل قبول افزایش می یابد و در نتیجه موجب افزایش مقاومت به ضربه می گردد. همچنین وقتی واکنش های بالا انجام می شود، فازهای میانی  $CaC_2$  و  $CaB_2C_2$  تشکیل می شوند و این فازها موجب متراکم تر شدن ساختار آجر می گردند. علاوه بر موارد گفته شده  $B_2O_3$  به عنوان مینرالایزر برای تشکیل  $M_2B$  نیز شناخته می شود.

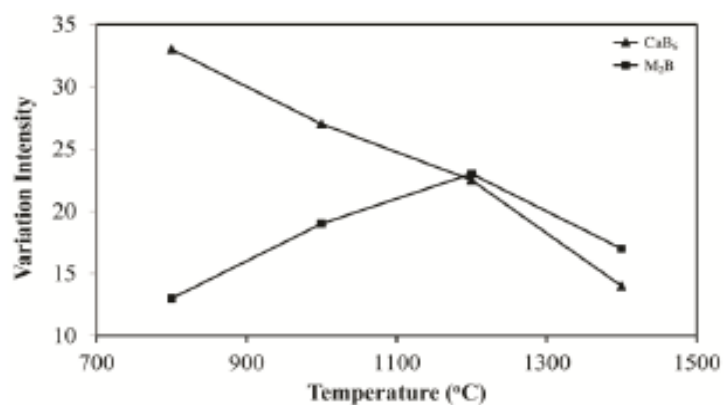


شکل ۸ نتایج آزمون پراش پرتو ایکس آجرهای منیزیا-گرافیتی حاوی آنتی اکسیدان هگزابوراید کلسیم سنتز شده توسط منیزیم پس از قرارگیری در دمای ۱۴۰۰ درجه سانتی گراد

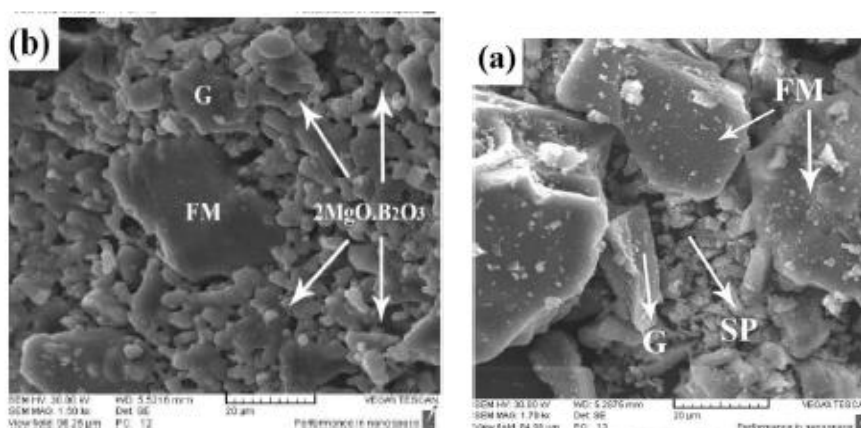
شکل های (۹) و (۱۰) تغییرات شدت پیک فازهای تشکیل شده در آجرهای منیزیا-گرافیتی را وقتی از پودر آلومینیم و کلسیم هگز ابوراید استفاده شود را در دماهای گوناگون نشان می دهد. وقتی از پودر آلومینیم استفاده شد، در ابتدا با افزایش دما تا ۱۰۰۰ درجه سانتیگراد، شدت پیک  $Al_4C_3$  افزایش می یابد و با افزایش بیشتر دما شدت آن کاهش می یابد، در حالی که شدت پیک اسپینل با افزایش دما، شدت آن افزایش می یابد. وقتی از کلسیم هگز ابوراید استفاده شد، با افزایش دما شدت پیک کلسیم هگز ابوراید کاهش می یابد، در حالی که شدت پیک  $M_2B$  با افزایش دما افزایش می یابد و در دماهای بالاتر از حدود ۱۲۰۰ درجه سانتیگراد شاهد



شکل ۹ تغییرات شدت پراش اشعه ایکس آجر دیرگداز منیزیا-گرافیتی حاوی پودر آلومینیم



شکل ۱۰ تغییرات شدت پراش اشعه ایکس آجر دیرگداز منیزیا-گرافیتی حاوی پودر کلسیم هگزابورايد



شکل ۱۱ تصویر SEM از ناحیه اکسید شده آجر منیزیا-گرافیتی حاوی: الف) پودر آلومینیم، ب) پودر کلسیم هگزابورايد در دمای ۱۴۰۰ درجه سانتی گراد

## نتیجه گیری

در این تحقیق ابتدا کلسیم هگزابورایت ( $\text{CaB}_6\text{O}_{10}\cdot 5\text{H}_2\text{O}$ ) توسط روش هیدروترمال بدست آمد و سپس پس از کلسیناسیون آن در دمای ۴۰۰ درجه سانتیگراد و مخلوط کردن آن با فلزات منیزیم، آلومینیوم و سیلیسیم در دماهای مختلف در بستر کربنی عملیات سنتز و تهیه  $\text{CaB}_6$  انجام شد. در ادامه رفتار آنتی اکسیدانی هگزابوراید تولید شده در دیرگدازهای منیزیا-گرافیتی و در دماهای مختلف سنجیده شد که نتایج زیر به طور خلاصه بدست آمد:

۱. کلسیم هگزابوراید توسط عناصر افزودنی منیزیم، آلومینیوم و سیلیسیم، به روش سنتز احتراقی با موفقیت به ترتیب در دماهای ۷۵۰، ۸۵۰ و ۹۰۰ درجه سانتیگراد سنتز گردید.
۲. در پراش اشعه ایکس بعد از شستشو با اسیدکلریدریک و محلول هیدروکسید سدیم نمونه‌هایی که در آن‌ها از منیزیم برای سنتز استفاده شد،

- فقط پیک  $\text{CaB}_6$  مشاهده شد، در حالی که وقتی از آلومینیوم و سیلیسیم استفاده شد، علاوه بر پیک  $\text{CaB}_6$ ، پیک اکسید عناصر نیز مشاهده شد.
۳. مقاومت به اکسیداسیون آجرهای منیزیا-گرافیتی که در آن‌ها از  $\text{CaB}_6$  سنتز شده توسط منیزیم به عنوان آنتی اکسیدان استفاده شد، در تمامی دماها از سایر آنتی اکسیدان‌ها بهتر بود.
  ۴. در دماهای پایین‌تر (کمتر از ۱۰۰۰ درجه سانتیگراد)، آنتی اکسیدان پودر آلومینیوم نسبت به  $\text{CaB}_6$  سنتز شده توسط آلومینیوم و سیلیسیم، مقاومت به اکسیداسیون بهتری از خود نشان داد در حالی که در دماهای بالاتر (بالای ۱۲۰۰ درجه سانتیگراد)  $\text{CaB}_6$  سنتز شده توسط آلومینیوم و سیلیسیم نسبت به آنتی اکسیدان پودر آلومینیوم مقاومت به اکسیداسیون مناسب‌تری نشان دادند.

## مراجع

1. Matsushita, J., and Komarneni, S., "High temperature oxidation behavior of  $\text{CaB}_6$  sintered body," *Journal of material science*, Vol. 34, pp. 3043-3046, (1999).
2. Huang, X., Zhong, J., Dou, L., and Wang, K., "Combustion synthesis of  $\text{CaB}_6$  powder from calcium hexa borate and Mg," *Journal of refractory metals and hard materials*, Vol. 28, pp. 143-149, (2010).
3. Shughi, Zh., Guanghui, M., Zengda, Z., Huashun, Y., and Jiande, H., "Synthesis of calcium hexaboride powder via the reaction of calcium carbonate with boron carbide and carbon," *Communication of the American ceramic society*, Vol. 84, pp. 2725-2727, (2001).
4. Lin, Zh., Guanghui, M., and Huashun, Y., "Reaction mechanism and size control of  $\text{CaB}_6$  micron powder synthesized by the boron carbide method," *Ceramic international*, Vol. 35, pp. 3533-3536, (2009).
5. Yildiz, O., Telle, R., Schmalzried, C., and Kaiser, A., "Phase transformation of transient  $\text{B}_4\text{C}$  to  $\text{CaB}_6$  during production of  $\text{CaB}_6$  from colemanite," *Journal of the European ceramic society*, Vol. 25, pp. 3375-3381, (2005).
6. Zhang, S., Marriott, N.J., and Lee, W.E., "Thermochemistry and microstructures of MgO-C refractories containing various antioxidants," *Journal of the European ceramic society*, Vol. 21, pp. 1037-1047, (2001).
7. Zhang, S., and Lee, W.E., "Influence of additives on corrosion resistance and corroded microstructures of MgO-C refractories," *Journal of the European ceramic society*, Vol. 21, pp. 2393-2405, (2001).

8. Jallay, M., Tamizifar, M., Bafghi, M. Sh., Gotor, F. J., "Mechanochemical synthesis of  $ZrB_2$ -SiC-ZrC nanocomposite powder by metallothermic reduction of zircon" *Journal of alloys and composites*, 581, 782-787, (2013).
9. Yildiz, O., "The effect of heat treatment on colemanite processing: A ceramics application" *powder Technology*, Vol. 142, pp. 7-12, (2004).
10. Siljan, O. J., Hydro, N., Rian, G., Pettersen, D. T., Solheim, A., and Schøning, C., "Refractories for molten aluminum contact part 1: Thermodynamics and kinetics", *Refractories Applications and news*. Vol. 7, pp. 17-25, (2002).
11. Zhang, L., Guanghui, M., Huashun, Yu., "Reaction mechanism and size control of  $CaB_6$  micron powder synthesized by the boron carbide method", *ceramic international*, Vol. 35, pp. 3533-3536, (2009)
12. Khezrabadi, M., N., Javadpour, J., Rezaie, H. R., Naghizadeh, R. "The effect of additives on the properties and microstructure of  $Al_2O_3$ -C refractories" *Journal of Materials Science*, Vol. 41, pp. 3027-3032, (2006).
13. Hanagiri, S., Harada, T. Aso, S., Fujihara, S., "Effect of the addition of metal and  $CaB_6$  to Magnesia carbon bricks for converters", *Taikabutsu overseas*, Vol. 44, No. 9, pp. 490-498, (1992).
14. Zheng, S. Q., Min, G. H., Zau, Z. D., Tatsuyama, C., "High temperature oxidation of calcium hexaboride powders" *materials letter*, Vol. 58, pp. 2586-2589, (2004)
15. Low, I. M., Lim, F. W., Slow, S., "Synthesis of highly leachable gel-derived alumina ceramic cores" *Journal of materials Science letter*, Vol. 12, pp. 1570-1573, (1993).